

# Конформационное разнообразие липидов

И. А. Болдырев<sup>1)</sup>

Институт физической химии и электрохимии им. А. Н. Фрумкина РАН, 119071 Москва, Россия

Поступила в редакцию 10 ноября 2023 г.

После переработки 21 февраля 2024 г.

Принята к публикации 1 марта 2024 г.

В работе исследуется конформационное разнообразие гидрофобных цепей липидов. Даются ответы на вопросы: сколько всего возможно конформаций липидной цепи и сколько из них может реализоваться в реальной системе. Предлагается подход к анализу конформаций липидных молекул, основанный на теории множеств, и вводится равенство, связывающее наборы реализованных в липидной системе конформаций с энергией системы. С помощью теории множеств рассматривается вопрос о том, какие конформации гидрофобных цепей липидов могут быть реализованы в реальной системе. Сформулировано понятие ключевой конформации, позволяющее оценивать зависимость между структурными характеристиками липидов и энергетическими характеристиками мембран.

DOI: 10.31857/S1234567824070127, EDN: AJUJQN

**1. Введение.** Липиды выполняют несколько основных функций в живых организмах. Они служат структурными компонентами мембран, работают источниками энергии и тепла, являются сигнальными молекулами и формируют среду для функционирования белков. Липидный бислой обеспечивает функциональный барьер между субклеточными компартментами и между клеткой и ее окружением.

Липиды обладают огромным разнообразием химических структур [1]. Сигнальные липиды имеют разнообразные структуры для обеспечения специфических взаимодействий лиганд-рецептор [2, 3]; однако причины разнообразия структурных липидов мембран не всегда очевидны.

Кроме структурного, существует еще композиционное разнообразие [4] и липидный полиморфизм [5, 6]. Композиционное разнообразие (соотношение различных липидов в мембране) проявляется в различных масштабах: между биологическими видами, между тканями и/или клетками внутри организма, между различными органеллами и между сторонами мембранны и субдоменами мембранны.

Полиморфизм – это свойство липидов образовывать агрегаты разной формы. Например, ламеллярная фаза представляет собой чередование липидных и водных слоев. Чаще всего ламеллярная фаза встречается в виде одной ламеллы, разделяющей два водных объема. Эта одна ламелла и называется мембранный или бислоем. Распространены также мицеллярные, гексагональные и кубические фазы.

Отдельный и наименее изученный вид липидного разнообразия – конформационное разнообразие. Последнее основано на том, что каждая молекула липида может принимать множество различных конформаций. Именно эта гибкость лежит в основе липидного полиморфизма и способности липидной мембраны адаптироваться к внешним факторам.

Конформации гидрофобной цепи начали исследовать экспериментально в 70-х с помощью  $^2\text{H}$ -ЯМР спектроскопии [7–10]<sup>2)</sup>. Для этого был синтезирован набор липидов, у которых один из атомов водорода в цепи заменен на дейтерий, а положение атомов дейтерия в цепи различное. Эксперимент позволил определить угол  $\theta$  между связью углерод-дейтерий и нормалью к бислою и вычислить параметр порядка  $S_i$ .

$$S_i = \frac{1}{2} \langle 3 \cos^2 \theta_i - 1 \rangle. \quad (1)$$

Скобки здесь обозначают усреднение, которое производится по двум С-Н связям  $\text{CH}_2$  группы, по всем  $\text{CH}_2$  группам с одинаковым порядковым номером  $i$  и по времени эксперимента (в случае ЯМР-спектроскопии по времени релаксации). Набор параметров порядка для всех последовательных атомов углерода в цепи называется профилем параметра порядка. Профиль параметра порядка до сих пор используется в качестве характеристики структуры гидрофобной области липидного бислоя. Усреднения на основе профиля параметра порядка  $S_i$  легли в основу полуэмпирического подхода к описанию строе-

<sup>1)</sup>e-mail: i\_boldyrev@mail.ru

<sup>2)</sup>Обзоры ранних исследований [7, 8], современное состояние [9], база данных измеренных параметров [10].

ния мембран, предложенной С. Марчеля [11]<sup>3)</sup>. Альтернативно используются феноменологические [12–15] и ряд микроскопических подходов [16–19], наиболее современный из которых описывает липидную цепь как гибкую струну [20, 21]. Микроскопические подходы к описанию строения мембран позволяют корректно описывать фазовые переходы в мембранах [22] и вычислять профиль латерального давления [23]. Феноменологические подходы позволяют описывать ответ мембранны на различные внешние воздействия – от электропорации [24, 25] до взаимодействия с белками [26, 27], а также равновесные процессы внутри мембраны (например, [28, 29]). Физические (и феноменологические и микроскопические) подходы развились как теоретические модели, описывающие экспериментальные данные, и поэтому хорошо с ними согласуются.

Параллельно с развитием микроскопических подходов шло развитие методов молекулярной динамики (МД) [30–32]. Последние позволяют определять положение всех атомов в системе, и таким образом определить все реализуемые в данной системе конформации липидной цепи. МД позволяет вычислить и профиль параметра порядка [33], и профиль латерального давления [34], и другие параметры структуры системы. Физические методы и МД, хотя и взаимно дополняют друг друга, имеют ограничения в применении. Первые обладают уровнем обобщения, соответствия экспериментальным данным и предсказательной силой, недоступными для МД, а вторые оперируют детальной структурной информацией, которую сложно использовать в физических подходах. Таким образом исходя из физических моделей нельзя вывести структуру липидной молекулы с заданными свойствами, например, агента трансфекции или мембранотропного антибиотика. И наоборот, исходя из структуры молекулы сложно предсказать ее влияние на свойства мембраны (например, устойчивость к электрическому пробою).

Между тем оказалось, что способность липидов принимать различные конформации определяет свойства мембраны. Так экспериментально было обнаружено, что полное блокирование конформационной подвижности цепи приводит к невозможности молекул липида формировать нормальные агрегаты [35], а частичное блокирование конформационной подвижности приводит к увеличению прочности липидной мембраны на порядок [36]. Однако, роль каждой конкретной конформа-

ции или наборов конформаций остается не вполне понятной.

Для дальнейшего изучения роли индивидуальных конформаций липидов и конформационного разнообразия представляется перспективным перейти от усреднения всех конформаций липидных цепей к анализу конкретных конформаций, и оценке их места в сложившихся к настоящему моменту физических теориях строения мембраны.

В этой работе мы оцениваем, какое количество из всех возможных конформаций цепи может реализоваться в липидной системе, предлагаем подход к анализу липидных молекул, основанный на теории множеств и вводим равенство, связывающее наборы реализованных в липидной системе конформаций, с энергией мембраны.

## 2. Число конформаций гидрофобной цепи.

Гидрофобные цепи липидов имеют линейную структуру, представляют собой цепочку атомов углерода, связанных друг с другом одинарными или двойными связями (рис. 1).

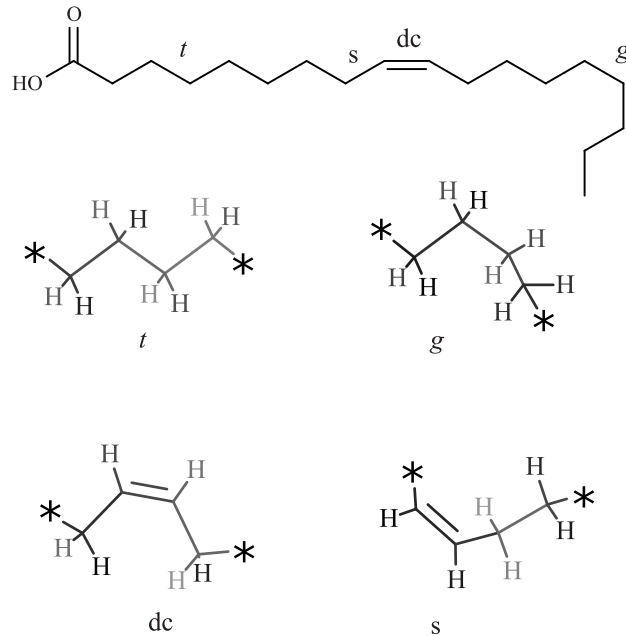


Рис. 1. Двугранные углы в гидрофобной цепи липида на примере олеинового остатка. Вверху – формула олеиновой кислоты. Внизу – геометрия фрагментов цепи в разных конфигурациях. Звездочка обозначает место продолжения углеводородной цепи. Простые одинарные связи могут принимать конфигурации транс (*t*) и гауш (*g*). Двойная связь в липидах всегда встречается в цис конфигурации (*dc*). Одинарная связь, примыкающая к двойной (*s*) имеет два близких по геометрии и энергии конформера

<sup>3)</sup>При этом энергетические оценки С. Марчеля базируются на энергии транс-гош переходов.

Двойные связи в природных липидах находятся в цис-конфигурации. Свободное вращение вокруг двойных связей невозможно, поэтому двугранный угол в последовательности атомов углерода C-C=C-C всегда равен нулю. А число возможных конфигураций  $n = 1$ .

Вращение вокруг одинарных связей, наоборот, возможно. Но из-за стерических препятствий существуют локальные минимумы энергии, которые определяют конфигурацию двугранного угла. Так двугранный угол в последовательности атомов углерода C-C-C-C может принимать три локальных минимума ( $n = 3$ ):  $180^\circ$ ,  $+60^\circ$  и  $-60^\circ$ . Они обозначаются как транс ( $t$ ), гош<sup>+</sup> ( $g^+$ ) и гош<sup>-</sup> ( $g^-$ ) конфигурации.

Конфигурация одинарных связей, примыкающих к двойным<sup>4)</sup>, отличается тем, что имеет два вырожденных локальных минимума ( $n = 2$ ). Двугранный угол принимает значения  $+120^\circ$  и  $-120^\circ$ <sup>5)</sup>.

Число всех возможных конформаций цепи  $N$  определяется числом возможных сочетаний конфигураций двугранных углов:

$$N = 3^k \cdot 2^l, \quad (2)$$

где  $k$  – число двугранных углов, образующих три конфигурации, а  $l$  – число двугранных углов, образующих две конфигурации. Двугранные углы, образованные двойными связями, мы не учитываем, потому что у них всего одна конфигурация.

Число возможных конформаций (числа сочетаний двугранных углов) для гидрофобного остатка может быть очень велико. Например у пальмитинового остатка (длина цепи – 16 атомов углерода) их больше 3 млн. Таблица 1 показывает, как при увеличении длины цепи возрастает количество возможных конформаций. Увеличение числа двойных связей уменьшает количество возможных конформеров. Сравните значения для стеаринового, олеинового, линолевого и линоленового остатков табл. 1.

Важно понимать, все ли эти конформации могут реализоваться на практике. Для примера рассмотрим липосому диаметром 100 нм, состоящую из

<sup>4)</sup>Связь между атомом, имеющим  $sp^2$ -гибридизацию, и атомом, имеющим  $sp^3$ -гибридизацию. Такая связь встречается в последовательностях атомов C-C-C=C и C-C-C=O.

<sup>5)</sup>Двугранные углы, примыкающие к двойным связям изучались расчетными и спектральными методами [37–39]. Стого говоря возможные конформеры обладают разницей в энергии, но эта разница мала, а барьер перехода между конформерами низкий. Поэтому в настоящей работе такие конформеры считаются энергетически вырожденными.

**Таблица 1.** Число возможных конформаций для цепей разной длины и с разным числом двойных связей

Название (длина цепи, число двойных связей)	Число конформаций
Октановая (C8, 0)	$3^5 \cdot 2^1 = 486$
Декановая (C10, 0)	$3^7 \cdot 2^1 = 4\ 374$
Лауриновая (C12, 0)	$3^9 \cdot 2^1 = 39\ 366$
Миристиновая (C14, 0)	$3^{11} \cdot 2^1 = 354\ 294$
Пальмитиновая (C16, 0),	$3^{13} \cdot 2^1 = 3\ 188\ 646$
Стеариновая (C18, 0)	$3^{15} \cdot 2^1 = 28\ 697\ 814$
Олеиновая (C18, 1)	$3^{12} \cdot 2^3 = 4\ 251\ 528$
Линолевая (C18, 2)	$3^9 \cdot 2^5 = 629\ 856$
Линоленовая (C18, 3)	$3^6 \cdot 2^7 = 93\ 312$

дипальмитоилфосфатидилхолина<sup>6)</sup>. Принимая площадь на один липид  $\approx 70 \text{ \AA}^2$ , получим, что в одной липосоме (на обоих сторонах бислоя) примерно 90 000 молекул липидов. В каждом липиде два пальмитиновых остатка. Значит в липосоме их  $\approx 180\ 000$  – на порядок меньше возможного числа конформаций пальмитинового остатка. Иными словами, в любой момент времени количество возможных конформаций липидов избыточно, относительно наблюдаемого на практике числа конформаций. Поэтому в системе одновременно не могут реализоваться все возможные конформации.

Конформации цепи энергетически не эквивалентны. Причина в разной энергии транс и гош конфигураций. Разница энергии между транс и гош конфигурациями,  $E_{t \rightarrow g}$ , равна примерно 2 кДж/моль [40]. На перевод пальмитиновой цепи из полностью транс в полностью гош конформацию потребуется 26 кДж/моль ( $2 \cdot 13$ ). Это высокие затраты энергии, сопоставимые с затратами на испарение одного моля воды ( $\approx 40$  кДж/моль).

Существует единственная конформация, у которой все двугранные углы находятся в транс конфигурации. Эта конформация обладает минимальной энергией. Рассмотрим, сколько может образоваться конформаций цепи при одном, двум или трех сегментах с гош конфигурацией в цепи. Задача определения числа возможных конформаций сводится к поиску числа различных положений гош двугранных углов в гидрофобной цепи. В комбинаторике эта задача описывается как поиск числа сочетаний из  $t$

<sup>6)</sup>Это распространенный природный липид. Например, сурфактант легкого примерно на 90 % состоит из этого липида. Дипальмитоилфосфатидилхолин часто используется для создания модельных липидных систем потому, что длина гидрофобных цепей липидов в живых системах составляет, как правило, 16 или 18 атомов углерода. У дипальмитоилфосфатидилхолина длина цепей 16 атомов углерода.

элементов по  $k$  ( $A_m^k$ ); где  $k$  – число всех двугранных углов в цепи, а  $m$  – число углов в гош конфигурации. Для расчета энергий имеет значение разница между транс и гош конфигурациями. В этом случае не важно в какой тип гош конфигурации (+ или –) перешла транс конфигурация. Формула для определения числа конформеров  $N_c$  без учета разницы между  $g^+$  и  $g^-$  имеет вид:

$$N_c = A_m^k = \frac{k!}{m! \cdot (k-m)!}. \quad (3)$$

Если в цепи только один двугранный угол в гош конфигурации, то число возможных конформеров цепи равно  $k$ . Для пальмитинового остатка ( $k = 13, m = 1$ ) получается всего 13 конформеров. Если в дополнение к первому, появляется второй двугранный угол в гош конфигурации, то для него возможны 12 различных положений в цепи (одно уже занято). Получается всего  $N_c = \frac{13!}{2!(13-2)!} = 78$  конформаций. Причем с ростом количества гош-связей число возможных конформеров сначала увеличивается, а потом снижается (рис. 2а).

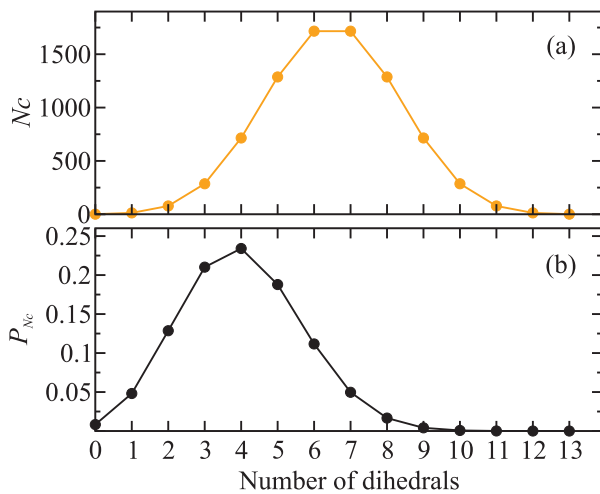


Рис. 2. (Цветной онлайн) Количество возможных конформаций, состояний молекулы (а), и их вероятностное распределение по Больцману (б) в зависимости от числа гош связей в цепи. Расчет выполнен для цепи с 13-ю двугранными углами

Поскольку конформации с разным числом гош связей отличаются друг от друга по энергии, то вероятность обнаружить в системе конформацию с определенным числом гош связей  $P_{N_c}$  описывается распределением Больцмана<sup>7)</sup>

<sup>7)</sup>Заметим также, что разница энергии между транс и гош конфигурациями (2кДж/моль или 3.32e-21 Дж на 1 молекулу) близка к значению  $k_B T$  при комнатной температуре (4.11e-21 Дж).

$$P_{N_c} = \frac{\sum_{N_c} e^{-\epsilon_i/k_B T}}{\sum_N e^{-\epsilon_i/k_B T}}, \quad (4)$$

где  $\epsilon_i$  – энергия каждой конкретной конформации, равная  $E_{t \rightarrow g} \cdot m$ . Рассчитанные по формуле (4) значения  $P_{N_c}$  приведены на рис. 2б, из которого видно, что наиболее вероятной конформацией является не конформация с наименьшей энергией, а конформация с четырьмя гош связями. При этом таких конформеров, обладающих одинаковой энергией, согласно формуле 3 оказывается 715.

Расчеты по уравнению (4) приведены для молекул, не взаимодействующих друг с другом и с внешней средой, при допущении, что на конформационную подвижность цепи не оказывают влияние внешние факторы. В липидных мембранах это не так. На ориентацию и положение цепи в пространстве действуют внешние факторы<sup>8)</sup>, а значит существуют ограничения на возможные конформации.

Энергия цепи определяется через сумму внутренней энергии цепи и энергии взаимодействия этой цепи с соседними [11]:

$$E = E_{\text{int}} + E_{\text{disp}} + E_{\text{steric}}. \quad (5)$$

В уравнении (5)  $E_{\text{int}}$  представляет собой внутреннюю энергию одиночной цепи. Второе слагаемое  $E_{\text{disp}}$  – дисперсионные или Ван-дер-Ваальсовы взаимодействия цепи с соседними цепями. Последнее слагаемое  $E_{\text{steric}}$  описывает стерическое отталкивание. Это важно, поскольку стерическое отталкивание соседних цепей ограничивает возможные конформации [16]. Важно и то, что слагаемые  $E_{\text{disp}}$  и  $E_{\text{steric}}$  имеют разные значения на разной глубине внутри мембраны. Например,  $E_{\text{steric}}$  описывается как профиль латерального давления, имеющий несколько сильно выраженных экстремумов.

Энергией  $E$  может обладать несколько конформаций цепи.

$$E = E_{\text{conf}1} = E_{\text{conf}2} = \dots = E_{\text{conf}i}. \quad (6)$$

Друг от друга эти конформации отличаются положением гош связей в цепи. Если отсутствуют внешние ограничения,  $E_{\text{disp}} = 0$ ;  $E_{\text{steric}} = 0$ , то  $E = E_{\text{int}}$ . Набор конформаций, существующий в системе, определяются уравнениями (3) и (4).

В реальной системе  $E_{\text{disp}} \neq 0$  и  $E_{\text{steric}} \neq 0$ , поэтому набор конформаций в ней более ограничен. Фак-

<sup>8)</sup>Например, контакты с другими липидами и холестерином, находящимися в липидном слое, или белками, адсорбированными на нем, или контакты липидной мембранны как целого с твердой подложкой. В последнем случае ограничивается вращательная и поступательная диффузия молекул.

тически формулы (5) и (6) вводят соотношение между силами, действующими внутри бислоя и структурами липидных конформеров.

$$\begin{aligned} E_{\text{int}} + E_{\text{disp}} + E_{\text{steric}} &= E; \\ E \in (E_{\text{conf}1}, E_{\text{conf}2}, \dots E_{\text{conf}i}). \end{aligned} \quad (7)$$

**3. Описание конформационного разнообразия с использованием теории множеств.** Очень важно иметь подходящий инструмент для описания и характеристики различных конформеров независимо от того, существуют они в одной и той же или в разных липидных системах. Конформацию  $u$  молекулы цепи можно записать как последовательность двугранных углов. Это принципиально отличается от записи конформации в виде значений параметра порядка для последовательности атомов углерода, использованной в формуле (1). Например, для лауринового остатка (длина цепи 12 атомов углерода, 9 двугранных углов) возможна конформация, показанная на рис. 3 внизу.

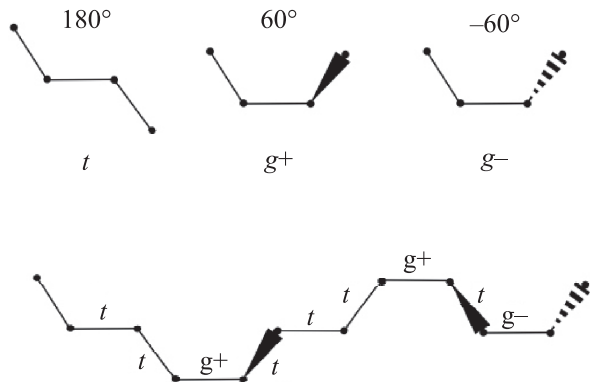


Рис. 3. Вверху: схематическое представление двугранных углов в углеводородных цепях. Атомы углерода обозначены черными точками. Внизу: представление углеводородной цепи длиной 12 атомов углерода как последовательности двугранных углов

Конфигурацию цепи, изображенной на рис. 3, можно записать в виде последовательности:

$$\begin{array}{cccccccccc} 1 & 2 & 3 & 4 & 5 & 6 & 7 & 8 & 9 \\ t & t & g^+ & t & t & t & g^+ & t & g^- \end{array}$$

здесь цифры соответствуют порядковому номеру двугранного угла в цепи.

Все возможные конформации молекулы формируют универсальное множество  $U$ . Это множество конечно и счетно.

Любая произвольная конформация молекулы  $u_i$  является частью множества  $U$ :

$$u_i \in U. \quad (8)$$

Общее число возможных конформаций цепи представляет собой мощность универсального множества:

$$N = n^k = |U|. \quad (9)$$

Поскольку число возможных конформаций избыточно относительно липидных объектов (мицелл, липосом, мембранны, липидных доменов в мембранах), то число реализованных конформаций цепей в составленном из липидов агрегате заведомо меньше числа возможных ее конформаций. Поэтому каждый составленный из липидов объект по числу реализованных в нем конформаций является лишь подмножеством  $U$ .

$$R \subseteq U, \quad (10)$$

где  $R$  – множество реализованных конформаций.

Множество  $R$  может быть большим и включать все молекулы, например, формирующие ламеллярную фазу, или малым и включать только несколько молекул, например, находящихся в контакте с мембранотропным пептидом<sup>9)</sup>.

Рассмотрим понятие множества реализованных конформаций подробнее на примере липидных агрегатов и фаз. Форма липидного агрегата может быть сферической (мицеллы), плоской (ламеллярная фаза, бислой) или трубчатой (гексагональная фаза). Известны также и более сложные структуры – кубические, ромбоэдрические, тетрагональные и ортогональные фазы. Фазы отличаются друг от друга геометрическими параметрами. Выделяют также разновидности фаз внутри одной. Так ламеллярная фаза может быть жидкой неупорядоченной  $L_d$ , жидкой упорядоченной  $L_o$  и гелевой  $S_o$ . С точки зрения конформаций разные объекты, сформированные из одинаковых липидов, например, разные фазы или разные формы агрегатов, отличаются друг от друга количеством и составом реализованных конформаций, иначе – множествами конформаций  $R_1, R_2, \dots R_i$ . При этом любое множество  $R_i$  является подмножеством универсального множества  $U$ . Это означает, что любая произвольная конформация цепи  $r_i$  из любого множества  $R$  принадлежит множеству  $U$ . Обратное неверно. Существует множество конформаций входящих в  $U$ , но не входящих в  $R$ .

Множества  $R_i$  могут пересекаться, т.е. может существовать набор конформаций входящих, например, в  $R_1$  и в  $R_2$ .

<sup>9)</sup> В этом случае также можно использовать термин “популяции” молекул.

Поскольку множества конформаций  $R$  зависят от внешних факторов, то при изменении этих внешних факторов множества могут переходить друг в друга. Например, при нагревании ламеллярной фазы происходит фазовый переход из гелевой упорядоченной фазы  $S_o$  в жидкую неупорядоченную фазу  $L_d$ . Последние отличаются наличием или отсутствием ближнего и дальнего порядка в упаковке молекул.  $S_o$  характеризуется наличием и ближнего, и дальнего порядка в упаковке липидов, а  $L_d$  – их отсутствием.

$$R_{So} \rightarrow R_{Ld} (R_{So} \subseteq U, R_{Ld} \subseteq U). \quad (11)$$

Переход из гелевой в жидкую неупорядоченную фазу сопровождается ростом разупорядоченности системы. Использование теории множеств позволяет выразить степень разупорядоченности липидной системы в численном виде. А именно, разупорядоченность  $\rho$  липидного объекта или фазы равна числу реализованных в данной системе индивидуальных конформаций или мощности множества  $|R|$ :

$$\rho = |R|. \quad (12)$$

Термотропный переход из  $S_o$  фазы в  $L_d$  приводит к росту разупорядоченности липидных цепей, т.е. к увеличению мощности множества конформаций:

$$\rho_{So} < \rho_{Ld}. \quad (13)$$

При термотропном переходе происходит повышение энергии системы за счет роста числа гош конформаций в каждой цепи, как более высоких по энергии. Это означает, что самопроизвольные процессы идут с уменьшением числа гош связей и одновременным увеличением числа транс связей в цепи.

Примером адаптации липидной мембранны к внешним условиям являются фазовые переходы. Другие примеры адаптации липидной мембранны включают взаимодействие с белками, в том числе описываемые через гидрофобное несоответствие, образование и затягивание пор, увеличение и уменьшение локальной кривизны поверхности. Для описания этих процессов недостаточно оперировать лишь мощностями множества  $R$ . Необходим метод, который позволил бы провести усреднение по всем конформациям множества  $R$ , учитывал энергию конформации  $E_{conf}$  и сохранял информацию о структуре цепи.

**4. Ключевые конформации.** Множество реализованных в липидном объекте конформаций  $R$  конечно и счетно, также как конечно и счетно множество всех возможных конформаций  $U$ . Поскольку конформации транс, гош+ и гош- переходят друг

в друга, и есть разница в уровнях энергии между конфигурациями транс и гош, то множество  $R$  можно упрощенно представить как среднюю конформацию  $R_k$ . Ввиду ее значения представляется обоснованным определить такую конформацию как ключевую. Ключевая конформация имеет вид:

$$\begin{matrix} 1 & 2 & 3 & \dots & k \\ f_1 & f_2 & f_3 & \dots & f_k \end{matrix},$$

где  $f_i$  – доля транс конформаций  $i$ -го двугранного угла среди всех гидрофобных цепей в множестве  $R$ , количество двугранных углов в транс конформации, деленное на число молекул в множестве  $R$ .

Энергию цепи в ключевой конформации можно определить по формуле:

$$E_{conf} = \sum_k (1 - f_i) \cdot E_{t \rightarrow g} \quad (14)$$

здесь  $E_{conf}$  представляет собой энергию одной гидрофобной цепи, усредненную по всему множеству  $R$ , а  $E_{t \rightarrow g}$  – энергия транс-гош перехода, оцениваемая в 2кДж.

Использование понятия ключевой конформации дает возможность сравнивать энергию конформации липидных цепей, находящихся под воздействием разных факторов. Например, липидов, находящихся на кромке сквозной поры и в основном объеме мембранны, или липидов находящихся в контакте с мембранным белком и вне этого контакта. Возможно также оценить энергию конформаций для всех липидов находящихся под воздействием внешнего фактора (множество  $R_f$ ):

$$E_f = \sum_{r \in R_f} E_{conf} = \sum_{r \in R_f} \sum_k (1 - f_i) \cdot E_{t \rightarrow g}. \quad (15)$$

Энергетический эффект фактора можно оценить, сравнивая суммы энергий отдельных конформаций цепи в области действия фактора и за ее пределами. При этом число липидов должно быть одинаковым.

**5. Заключение.** Современные физические теории строения биологических мембран, как феноменологические, так и микроскопические, хорошо соглашаются с результатами реальных экспериментов, однако не вполне учитывают структуру липидных молекул. Это затрудняет более глубокое изучение липидных мембран и сокращает возможности проектировать новые липидные молекулы для практических целей. С другой стороны, современные методы молекулярной динамики дают большие массивы информации о структурах и динамическом изменении структур липидных молекул, которые не привязаны к физическим моделям и, как следствие, слабо связаны с макроскопическими параметрами липидных

систем. В данной работе на примере гидрофобных цепей липидов мы показали, что можно связать информацию о структуре липидов с энергией мембраны, ключевого параметра физических моделей мембранных.

**Финансирование работы.** Работа выполнена при поддержке Министерства науки и высшего образования Российской Федерации (тема 122011300058-3).

**Конфликт интересов.** Автор декларирует отсутствие конфликта интересов.

1. T. Harayama and H. Riezman, *Nat. Rev. Mol. Cell Biol.* **19**(5), 281 (2018).
2. H. Sunshine and M. L. Iruela-Arispe, *Current Opinion in Lipidology* **28**(5), 408 (2017).
3. X. Wang, *Current opinion in plant biology* **7**(3), 329 (2004).
4. D. Casares, P. V. Escribá, and C. A. Rosselló, *Int. J. Mol. Sci.* **20**(9), 2167 (2019).
5. B. de Kruijff, *Current Opinion in Chemical Biology* **1**(4), 564 (1997).
6. V. A. Frolov, A. V. Shnyrova, and J. Zimmerberg, *Cold Spring Harbor Perspectives in Biology* **3**(11), a004747 (2011).
7. J. Seeling, *Q. Rev. Biophys.* **10**, 353 (1977).
8. J. H. Davis, *BBA – Reviews on Biomembranes* **737**(1), 117 (1983).
9. T. Molugu, S. Lee, and M. Brown, *Chem. Rev.* **117**(19), 12087 (2017).
10. A. Leftin and M. Brown, *Biochimica et Biophysica Acta – Biomembranes* **1808**(3), 818 (2011).
11. S. Marčelja, *Biochimica et Biophysica Acta (BBA) – Biomembranes* **367**(2), 165 (1974).
12. P. De Gennes, *Phys. Lett. A* **47**(2), 123 (1974).
13. W. Helfrich, *Z. Naturforsch.* **28**(11–12), 693 (1973).
14. Z. Tu and Z. Ou-Yang, *Adv. Colloid Interface Sci.* **208**, 66 (2014).
15. S. May, ‘*Curr. Opin. Colloid Interface Sci.*’ **5**(3–4), 244 (2000).
16. J. F. Nagle, *J. Chem. Phys.* **58**(1), 252 (1973).
17. H. Scott and W.-H. Cheng, *Biophysical Journal* **28**(1), 117 (1979).
18. A. Caille, A. Rapini, M. Zuckermann, A. Cros, and S. Doniach, *Can. J. Phys.* **56**(3), 348 (1978).
19. M. Hamm and M. Kozlov, *Eur. Phys. J. E* **3**, 323 (2000).
20. S. I. Mukhin and S. Baoukina, *Physical. Rev. E* **71**(6), 061918 (2005).
21. S. I. Mukhin and B. B. Kheyfets, *Phys. Rev. E* **82**(5), 051901 (2010).
22. B. Kheyfets, T. Galimzyanov, and S. Mukhin, *JETP Lett.* **107**, 718 (2018).
23. A. Drozdova and S. Mukhin, *JETP* **125**, 357 (2017).
24. S. A. Akimov, P. E. Volynsky, T. R. Galimzyanov, P. I. Kuzmin, K. V. Pavlov, and O. V. Batishchev, *Sci. Rep.* **7**(1), 12152 (2017).
25. S. Akimov, P. Volynsky, T. Galimzyanov, P. Kuzmin, K. Pavlov, and O. Batishchev, *Sci. Rep.* **7**(1), 12509 (2017).
26. O. G. Mouritsen and M. Bloom, *Annual Review of Biophysics and Biomolecular structure* **22**(1), 145 (1993).
27. M. F. Brown, *Biochemistry* **51**(49), 9782 (2012).
28. S. A. Akimov, P. I. Kuzmin, J. Zimmerberg, and F. S. Cohen, *Phys. Rev. E* **75**(1), 011919 (2007).
29. T. R. Galimzyanov, R. J. Molotkovsky, M. E. Bozdaganyan, F. S. Cohen, P. Pohl, and S. A. Akimov, *Phys. Rev. Lett.* **115**(8), 088101 (2015).
30. S. E. Feller, *Curr. Opin. Colloid Interface Sci.* **5**(3–4), 217 (2000).
31. R. M. Venable, F. L. Brown, and R. W. Pastor, *Chemistry and Physics of Lipids* **192**, 60 (2015).
32. R. M. Venable, A. Kramer, and R. W. Pastor, *Chem. Rev.* **119**(9), 5954 (2019).
33. L. S. Vermeer, B. L. De Groot, V. Réat, A. Milon, and J. Czaplicki, *Eur. Biophys. J.* **36**(8), 919 (2007).
34. K. V. Pinigin, *Membranes* **12**(11), 1149 (2022).
35. A. Semenova, A. Chugunov, P. Dubovskii, V. Chupin, P. Volynsky, and I. Boldyrev, *Chemistry and Physics of Lipids* **165**(4), 382 (2012).
36. O. Batishchev, A. Alekseeva, D. Tretiakova, T. Galimzyanov, A. Chernyadyev, N. Onishchenko, P. Volynsky, and I. Boldyrev, *Soft Matter* **16**(13), 3216 (2020).
37. S. E. Feller, K. Gawrisch, and A. D. MacKerell, *J. Am. Chem. Soc.* **124**(2), 318 (2002).
38. T. Gocen, S. H. Bayari, and M. H. Guven, *J. Mol. Struct.* **1150**, 68 (2017).
39. M. R. Rich, *Biochimica et Biophysica Acta (BBA)-Molecular Cell Research* **1178**(1), 87 (1993).
40. I. Kanesaka, R. G. Snyder, and H. L. Strauss, *J. Chem. Phys.* **84**(1), 395 (1986).